

CNT@MOF-199

به منظور افزایش جذب گاز CO_2

منصور آنبیاء*⁺، فائزه اشراقی

آزمایشگاه تحقیقاتی مواد نانو پروس، گروه شیمی، دانشکده شیمی، دانشگاه علم و صنعت ایران، تهران، ایران

چکیده: در مطالعه پیش رو، شبکه های فلزی آلی MOF-199 و کامپوزیت هیبریدی CNT@MOF-199 سنتر شد. جاذب های سنتر شده با روش های شناسایی معمول مانند فناوری جذب و اجانب نیتروژن (BET)، پراش پرتوایکس (XRD)، اسپکتروسکوپی فروسرخ تبدیل فوریه (FT-IR) و میکروسکوپ الکترونی رویشی (SEM) بررسی و سنتر ترکیبات مورد نظر تأیید شد. شبکه های فلزی آلی MOF-199 با ده درصد وزنی نانولوله های کربنی چند دیواره هیبرید شد. برخی پارامترهای مهم مانند زمان دیسپرس شدن پیش ماده های کامپوزیت و همچنین غلظت اسیدها در مرحله کربوکسیله کردن نانولوله های کربنی بهینه شد. میزان جذب سطحی CO_2 بر روی جاذب های سنتر شده به روش حجم سنجی اندازه گیری شد. حجم خفره های میکرو پروس بدون تغییر در ساختار شبکه پس از افزوده شدن MOF-199 به MWCNT افزایش یافت که همین امر سبب بهبود میزان جذب از ۶,۵ به ۸,۵ میلی مول بر گرم شد.

واژه های کلیدی: CO_2 ؛ جذب سطحی؛ شبکه فلزی آلی؛ نانولوله های کربنی چند دیواره.

KEYWORDS: Carbon dioxide; Adsorb; Metal organic framework; Multiwall carbon nanotubes.

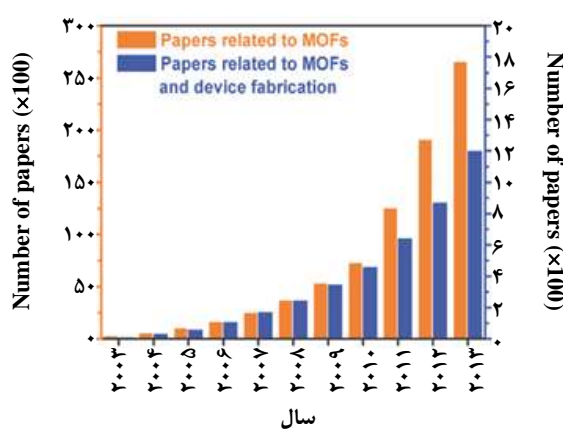
مقدمه

همه ناحیه های زمین افزایش می یابد. این پدیده اثر گلخانه ای نامیده می شود که موجب تغییر الگوی بارش، افزایش سطح آب دریاها و آزاد، ذوب شدن بخ های قطبی و کاهش سطح آب دریاچه ها و تأثیرات وسیع بر گیاهان، حیات وحش و انسان ها می شود [۱]. از این رو پژوهشگران برای کاهش انتشار گازهای گلخانه ای روش های گوناگونی را بررسی کرده که یکی از این روش ها استفاده از مواد متخلخل بسیار برای جذب و به دام انداختن این گازها است. به طور کلی مواد متخلخل را می توان در دو دسته مواد متخلخل آلی و معدنی تقسیم بندی کرد که با توجه به ویژگی های آن ها، هر یک دارای برتری ها و عیب هایی هستند. مواد متخلخل آلی سطح تماس بالای دارند ولی روزنده های آن ها به صورت یکنواخت و

انرژی مورد نیاز جامعه ما از طریق سوختن سوخت های فسیلی تأمین می شود که باعث تولید مقدار زیادی گازهای گلخانه ای مانند کربن دی اکسید می شود. پس از تابش نور خورشید، زمین مقداری از انرژی خورشید را جذب می کند و مقداری از آن را باز می تاباند. در طی این فرآیند طول موج نور تغییر پیدا می کند. برخی از گازهای موجود در جو زمین، از جمله کربن دی اکسید این تابش خروجی را جذب می کنند. این تابش به طور عمده در بازه فروسرخ است. مولکول گازهای گلخانه ای، بسیار بیشتر از سایر گازها نور فروسرخ را جذب می کند. جذب انرژی توسط مولکول های گاز، سبب جنبش مولکول و افزایش انرژی آن می شود. وقتی این اتفاق در مقیاس بزرگ رخ دهد، دمای

+E-mail: anbia@iust.ac.ir

* عهده دار مکاتبات



شکل ۱- آمار تعداد مقاله‌های مرتبط با MOF ها در سال‌های اخیر [۴].

کربوکسیلیک اسید، هیبرید کامپوزیت تشکیل داده شد. سرانجام هر دو جاذب برای جذب گاز CO₂ به روش حجم‌سنگی در شرایط دمای ۲۵ درجه سلسیوس و فشار در بازه‌ی ۰-۲۰ بار مورد آزمایش و مقایسه قرار گرفت.

بخش تجربی مواد و دستگاه‌ها

ستنتر MOF-199: برای سنتز MOF-199 از نسبت‌های مولی مشخص مس نیتراته دوا به و لیگاند ۱،۳،۵ بنزن تری کربوکسیلیک اسید استفاده شد. مقدارهای لازم درون مخلوطی از حللاهای آب/اتanol/DMF^(۳) با نسبت ۱:۱:۱ حل شده و به مدت نیم ساعت روی همزن مغناطیسی هم خورد. سپس به درون اتوکلاو منتقل شده و در آون در دمای ۸۵ درجه سلسیوس به مدت ۲۴ ساعت قرار داده شد. پس از پایان زمان سنتز اتوکلاو در دمای محیط به تدریج سرد شده سپس محلول صاف شد و بلورها جدا شد، با مخلوط DMF و آب چندین بار شست و شو داده شد. سپس با آزمون‌های شناسایی گوناگون سنتز MOF مورد نظر تأیید شد.

آماده سازی و ساخت کامپوزیت MWCNT@MOF-199

عامل دار کردن نانو لوله‌های کربنی چند دیواره^(۴) برای عامل دار کردن نانولوله‌های کربنی با گروههای کربوکسیلیک اسید دو روش کلی در منابع گزارش شده است [۷].

مرتب نیست. از سوی دیگر مواد متخلخل معدنی دارای روزنمه‌های منظم و یک اندازه هستند و مقاومت بالای گرمایی و مکانیکی دارند ولی سطح تماس آن‌ها نسبت به مواد متخلخل آلی کمتر است [۲]. یک راه بسیار مناسب برای دستیابی به موادی با همه برتری‌های دو گروه یاد شده استفاده از چارچوبهای فلزی آلی (MOF^(۱)) است. با توجه به این موضوع، این مواد در حالی که دارای سطح تماس بالایی هستند، بسیار مقاوم بوده و دارای روزنمه‌های منظمی نیز می‌باشند. همان‌گونه که از نام این مواد مشخص است، ها MOF نخستین بار یاقی^(۲) و همکاران در سال ۱۹۹۰ میلادی با تولید نخستین نمونه آن به نام (MOF-5)، به کار بردند. آن‌ها در تولید این ماده از فلز روی و اتصال دهنده دی کربوکسیلیک اسید استفاده کرده بودند [۳]. در سال‌های اخیر پژوهش‌های زیادی در زمینه کاربردهای گوناگون این مواد گزارش شده است. این ماده‌ها دارای کاربردهای گوناگونی در زمینه‌های جذب گاز خالص‌سازی گازها، کاتالیستی، مغناطیسی، تابشی و رهاسازی دارو می‌باشند. در (شکل ۱) تعداد مقاله‌های رو به رشد بر روی انواع گوناگونی از MOF‌ها و کاربردهایشان دیده می‌شود [۴].

برخی از ویژگی‌های یگانه این مواد مانند تخلخل بالا، سطح آزاد بالا، اندازه‌ی حفرات یکنواخت و چگالی پایین توجه بسیاری را به کاربرد این مواد در بخش‌های گوناگون جلب کرده است. به عنوان نمونه MOF-177 دارای سطح فعال (m²/g) ۵۹۰۰ می‌باشند که در میان مواد متخلخل به تقریب بی‌مانند است [۵]. روش‌های متنوعی برای سنتز این نوع از مواد به کار برد می‌شود که از جمله این روش‌ها می‌توان به روش نفوذ، حلال گرمایی، مایکروویو، فراصوت و الکتروشیمیایی اشاره کرد. از میان روش‌های یاد شده، هرچند روش حلال گرمایی دارای کاربرد گسترده‌تری است. در این روش از حللاهای قطبی مانند الکل، آب، استون، DMF و استونیتریل در درون اتوکلاو و یا لوله‌های شیشه‌ای تحت فشار استفاده می‌شود. بازه‌ی دمای مورد استفاده ۸۰-۲۶۰°C درون یک فضای بسته (اتوکلاو) و تحت فشاری است که به طور خودبه‌خودی به وجود می‌آید [۶]. در این پژوهش از روش هیدورترمال برای سنتز MOF-199 استفاده شد. پس از آن با نانولوله‌های چند دیواره‌ی عامل دار شده با گروههای

(۱) Metal- Organic Framework

(۲) Yaghi

(۳) Dimethylformamide

(۴) Multiwall Carbon Nanotubes (MWCNT)

با صاف کردن جمع‌آوری شده با آب یون زدایی شده فراوان شستشو داده شد تا PH به ۷ برسد. دوباره محلول با صافی تفلونی ۰/۵ میکرومتری صاف شد و در دمای ۷۰ درجه سلسیوس خشک شد. سپس به روش BAS^(۱) کامپوزیت ۱۰ درصد وزنی از نانولوله های کربنی چند دیواره عامل دار شده با گروههای کربوکسیله سنتز شد [۸]. نانولوله های کربنی به مخلوط سولفوریک اسید ۹۸٪ و نیتریک اسید ۶۵٪ با نسبت ۳ به ۱ افزوده شد به مدت مشخص در حمام فracasot قرار گرفت. سپس بازروانی به مدت ۱۲ ساعت در دمای ۱۰۰ درجه سلسیوس انجام شد. رسوب به دست آمده با صاف کردن جمع‌آوری شده با آب یونیزه فراوان شستشو داده شد تا PH به ۷ برسد. دوباره محلول با صافی تفلونی ۰/۵ میکرومتری صاف شد و در دمای ۷۰ درجه سلسیوس خشک شد. نانولوله های کربنی عامل دار شده به همراه پیش ماده های شبکه های فلزی آلی با درصد وزنی ۱۰ بعد از هم خوردن در حمام فracasot^(۲) به صورت پشت سر هم به اتوکلاو منتقل شده و در همان شرایط سنتز MOF-199 (دمای ۸۵ درجه سلسیوس و زمان ۲۴ ساعت) قرار گرفت.

بررسی متغیرها

بررسی اثر مدت زمان دیسپرس^(۳) شدن بر خواص کامپوزیت در سنتز کامپوزیت و وارد کردن نانولوله های کربنی چند دیواره به درون شبکه MOF پارامترهای مختلفی از جمله درصد وزنی نانولوله کربنی نسبت به شبکه های فلزی آلی، زمان هم خوردن فیزیکی مخلوط، دمای سنتز، مدت زمان سنتز و مدت زمان دیسپرس شدن مخلوط ۱۰٪ درصد وزنی درون حمام فracasot مؤثر خواهد بود. سنتز کامپوزیت چون به روش هم زمانی هست، دمای سنتز و مدت زمان سنتز همان دما و زمان سنتز MOF در نظر گرفته می شود. درصد وزنی نیز با توجه به مراجع و گزارش های پیشین مقاله ها مقدار بهینه انتخاب شد. اما یکی از مهم ترین عامل های مؤثر در کیفیت و ویژگی های کامپوزیت تشکیل شده دیسپرس شدن مناسب مواد تشکیل دهنده کامپوزیت هست. به دلیل این که در سنتز هم زمان مخلوط مواد کامپوزیت دهنده مدت زیادی در یک ظرف و به صورت ساکن باقی می ماند امکان تمثیل شدن نانولوله های کربنی در کف اتوکلاو و شرکت نکردن

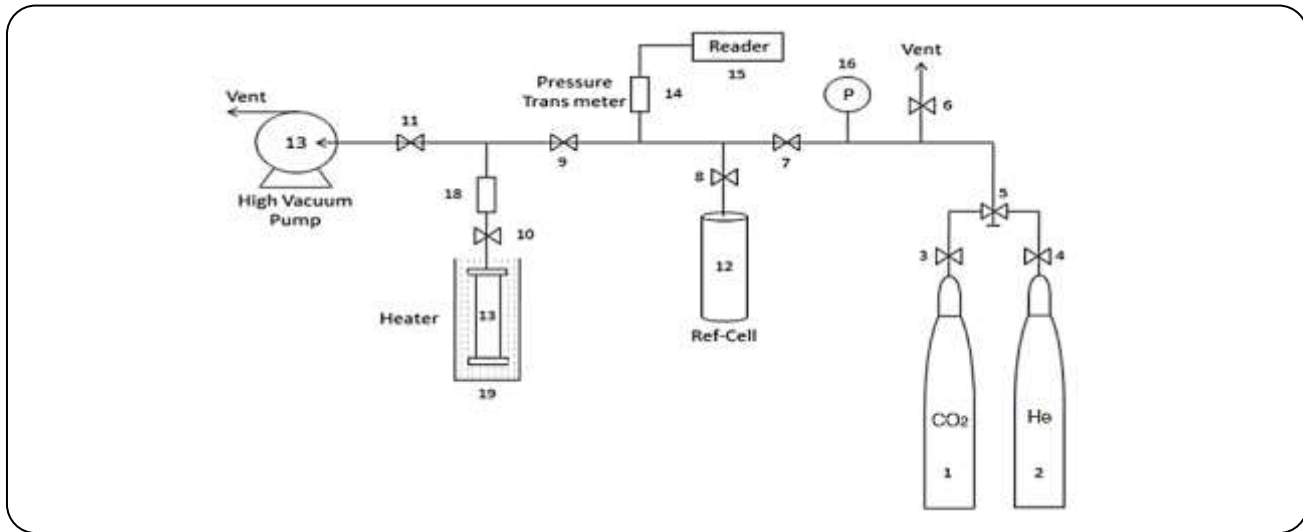
(۱) Bottle around ship

(۲) Ultrasonic bath

در روش اول مخلوطی از سولفوریک اسید غلیظ و نیتریک اسید با نسبت ۳ به ۱ تهیه می شود و مقداری نانولوله کربنی موردنظر به محلول حاصل افزوده شده و به مدت ۲۴ ساعت در گرما و هم زدن مداوم قرار می گیرد. در روش دوم نانولوله های کربنی با بازروانی و هم خوردن هم زمان در دمای ۱۰۰ درجه سلسیوس و در مخلوطی از سولفوریک اسید و نیتریک اسید غلیظ با نسبت های ۳ به ۱ عامل دار می شوند. هر دو روش مورد آزمایش قرار گرفت. برای بررسی کیفیت عامل دار شدن از FT-IR استفاده شد. در طیف FT-IR مربوط به روش اول که هم خوردن نانولوله در گرما و مخلوط اسیدی بود پیک کربوکسیلیک اسید بازی دیده نشد. اما در روش عامل دار کردن تحت بازروانی پیک های ضعیفی در نواحی مربوط به گروه های کربوکسیلیک دیده شد. با توجه به این که سنتز هیبرید کامپوزیت مورد نظر در محیط آبی و تحت حاللهای قطبی صورت می گیرد، عامل دار شدن نانولوله های کربنی در بیشترین میزان ضروری هست و یک عامل حساس و تعیین کننده در کیفیت کامپوزیت تشکیل شده محسوب می شود و اثر مستقیم بر مساحت سطح و حجم حروزنه های کامپوزیت خواهد داشت. درنتیجه از روش دوم برای بررسی اثر غلظت مخلوط اسیدی در میزان کربوکسیلیک شدن نانولوله ها استفاده شد. برای این منظور ۳ آزمایش در غلظت های گوناگون انجام گرفت.

۱- مخلوط اسیدی با نسبت ۳ به ۱ با غلظت ۵ مولار
۲- مخلوط اسیدی با نسبت ۳ به ۱ با غلظت ۸ مولار
۳- مخلوط اسیدی با نسبت ۳ به ۱ به صورت خالص (سولفوریک اسید ۹۸ درصد و نیتریک اسید ۳٪ درصد)
برای هر ۱۰۰ میلی گرم MWCNT مقدار ۸ میلی لیتر از مخلوط اسید با نسبت ۳ به ۱ موردنیاز هست. به عنوان نمونه برای یک گرم نانولوله کربن به ۸۰ میلی لیتر مخلوط اسیدی نیاز هست. نخست مقدار مشخصی از نانولوله کربنی وزن شد و درون کوره با دمای ۳۵۰ درجه سلسیوس با سرعت ۱۰ درجه بر دقیقه به مدت ۴ ساعت قرار گرفت تا ناخالصی های آلی احتمالی درون ساختار در اثر گرما حذف شود. مخلوط اسیدی با غلظت های موردنظر افزوده شده اجازه داده شد به مدت نیم ساعت در حمام فracasot قرار بگیرد. سپس بازروانی به مدت ۱۲ ساعت در دمای ۱۰۰ درجه انجام شد. رسوب به دست آمده

(۳) Dispersion



شکل ۲- نمای شماتیک از دستگاه جذب سطحی گاز، مورد استفاده در آزمایشگاه.

جذب قرار می‌گیرد و سل به دستگاه متصل می‌شود. اندازه‌گیری میزان جذب گاز CO_2 توسط جاذب‌های مورد استفاده در دمای ۲۹۸ کلوین و گستره فشار ۱–۲۰ بار، در هفت فشار اختنابی برای رسم ایزوترم جذب انجام شد و نتیجه میزان جذب به صورت میلی مول CO_2 شده به ازای هر گرم جاذب گزارش شده است. در ۷ فشار این عملیات تکرار شد تا همه‌دمای درستی به دست آید. حال با توجه به این که حجم فضای خالی و حجم اولیه در هر مرحله ثابت است با ثبت فشار اولیه و ثانویه فاز گاز موجود در سامانه، در هر مرحله میزان مول جذب شده توسط جاذب به دست می‌آید که مجموع آن‌ها میزان کل جذب در فشار پایانی خواهد بود.

در ساختار شبکه وجود دارد در واقع امکان هسته‌ای و تشکیل کامپوزیت ۱۰٪ وزنی وجود ندارد. بنابراین زمان سونیکت شدن نانولولمهای طوری باشد که زمان لازم برای امکان تشکیل و رشد بلورها بروی نانولولمهای کربنی وجود داشته باشد. به همین منظور ۳ سنتر گوناگون با تفاوت در زمان دیسپرس شدن و ثابت نگهداشت بقیه پارامترها طراحی شد. زمان‌های ۲۰، ۶۰ و ۹۰ دقیقه برای دیسپرس شدن مخلوط در نظر گرفته شد. پس از آن سنتر انجام گرفت. ویژگی‌های کامپوزیت‌هایی به دست آمده به روش BET و میزان جذب گاز کربن دی‌اکسید نیز برای آن‌ها اندازه‌گیری شد.

تعیین ویژگی‌های جاذب‌ها

- دستگاه اندازه‌گیری جذب و واجذب نیتروژن(BET)^(۱) (مدل ASAP2020)
- میکروسکوپ الکترونی روبشی (مدل PHILIPS XL30)
- دستگاه FT-IR (مدل SHIMADZU 8400S)
- دستگاه پراش پرتو ایکس بازه‌ی 20 = 3-50 (مدل PHILIPS 1830)
- سامانه اندازه‌گیری جذب گاز به روش حجم سنجی

جذب کربن دی اکسید توسط جاذب‌ها

دستگاه مورد استفاده در آزمایش‌های جذب سطحی (شکل ۲) که از روش حجم سنجی، میزان جذب گاز توسط جاذب را اندازه‌گیری می‌کند مقدار هر ۰ گرم جاذب توزین شده، در سل

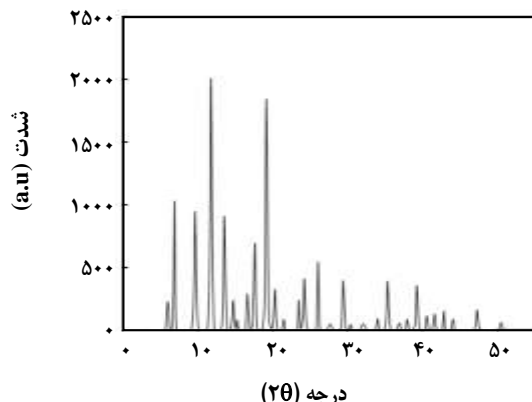
نتایج ها و بحث

نتایج حاصل از شناسایی شبکه‌آلی فلزی MOF-199

طیف FT-IR

(شکل ۳) طیف FT-IR ترکیب سنتر شده را نشان می‌دهد. تطبیق طیف FT-IR موجود در پژوهش‌های پیشین [۹] برای ترکیب MOF-199 صحت سنتر این ترکیب را اثبات می‌نماید. وجود نوارهای تیز با شدت بالا در بازه‌ی $1400-1600 \text{ cm}^{-1}$ به ارتعاشات کششی پیوند C-C حلقه‌ی آروماتیک مربوط می‌باشد. وجود نوار ضعیف C-H حلقه آروماتیک در 3070 cm^{-1} آن را تأیید می‌کند. وجود حلقه آروماتیک بیانگر این است که لیگاند آلی

(۱) Brunaure-Emmet-Teller



شکل ۴- الگوی XRD ترکیب MOF-199

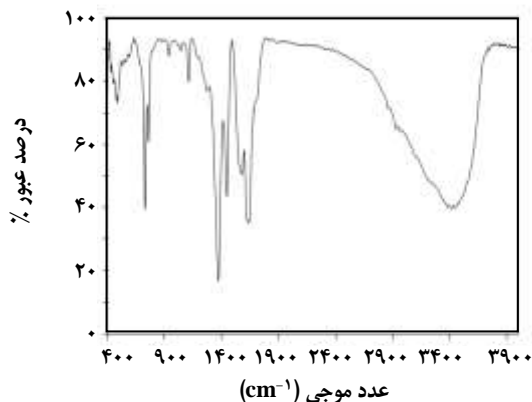
بررسی اثر غلظت اسید بر کربوکسیله شدن نانولوله های کربنی همان طور که از روی طیف FT-IR در (شکل ۷) مشخص است زمانی که در بازروانی از اسید غلیظ و خالص استفاده شده شدت نوارها در ناحیه ی گروه کربوکسیلیک اسید بیشتر شده است.

بررسی اثر زمان دیسپرس شد بر پراکندگی نانولوله های کربنی در DMF و اثر مستقیم این عامل بر ویژگی های کامپوزیت طبق (شکل ۸) با افزایش زمان دیسپرس شدن مخلوط، میزان کاهش مساحت سطح ذره ها که ناشی از ورود نانولوله های کربنی درون شبکه فلزی آلی هست، بیشتر شده که خود بیانگر آن است که با دیسپرس شدن هرچه بیشتر و بهتر نانولوله های کربنی، درون محلول امکان هستمزایی و شروع رشد کریستال های MOF-199 بر روی نانولوله ها بیشتر شده و کامپوزیت به دست آمده دارای همگنی و یکنواختی مناسب تری خواهد شد. سرانجام به این معناست که نانولوله های کربنی به خوبی و با بیشینه مقدار وارد ساختار MOF-199 شده است.

نتیجه هایی به دست آمده از شناسایی جاذب MOF-199 هیبرید شده با نانولوله کربنی چند دیواره عامل دار شده با کربوکسیلیک اسید

FT-IR طیف

طیف FT-IR نمونه های MOF-199 و CNT@MOF-199 را در (شکل ۹) دیده می شود. پس از ساخت کامپوزیت، یک پیک در ناحیه ۲۳۷۰ و ۳۴۵۰ cm⁻¹ که مربوط به نانولوله های کربنی می باشند، افزوده شدن نانولوله ها به ساختار شبکه MOF-199 را تأیید می کنند.



شکل ۳- طیف FT-IR ترکیب MOF-199

استفاده شده در ساختار پایانی جاذب باقی مانده است و تخریب نشده است. پیک در بازه ۱۶۵۰-۱۵۶۰ cm⁻¹ شاید لرزش های گروه C-O را نشان می دهد که نوار پهن در ۳۴۰۰-۲۴۰۰ cm⁻¹ می تواند مربوط به OH مولکول های آب و اتانول موجود در ترکیب باشد.

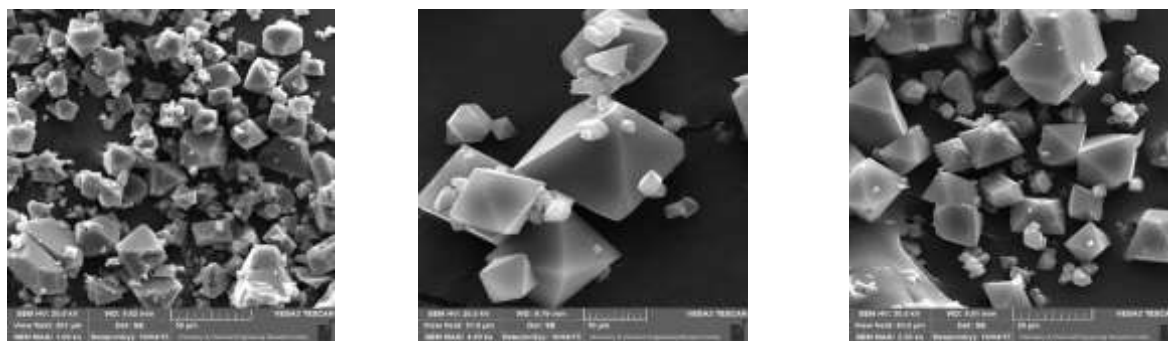
XRD الگوی

(شکل ۴) الگوی پراش پرتو ایکس ترکیب MOF-199 را در شرایط بهینه نشان می دهد. وجود پیک در موقعیت های ۹۴۶۵، ۱۱۶۲۵، ۱۳۴۱۰ = ۲۰ و شدت نسبی آن ها و مقایسه با مراجع می توان نتیجه گرفت که ترکیب سنتز شده همان شبکه آلی فلزی MOF-199 هست [۹، ۱۰].

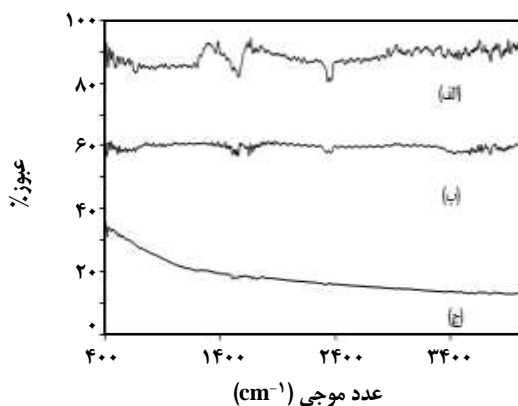
در تصویرهای SEM نمونه سنتزی (شکل ۵) ذره های با شکل هشت و چهی دیده می شود که با ریخت شناسی های گزارش شده برای ترکیب MOF-199 همانندی بسیار زیادی دارد [۹]. اندازه های تقریبی ذرات به طور متوسط کوچکتر از ۲۰ میکرومتر می باشد که با خلوص بالای سنتز شده است.

بررسی آزمایش جذب و واجدب نیتروژن

(شکل ۶) هم دما جذب و واجدب ترکیب MOF-199 را نشان می دهد. شکل هم دما جذب گاز به طور دقیق از نوع هم دمای یک می باشد. مهم ترین ویژگی این هم دما این است که در فشارهای پایین، یک افزایش تند در جذب دیده می شود و در فشارهای بالا منحنی به شکل یک خط به تقریب افقی در می آید. این هم دما منحنی لانگمویر نیز نامیده می شود. در این منحنی یک جذب تک لایه در فشارهای پایین اتفاق می افتد، که بیان کننده برهمکنش های قوی میان گاز و سطح جاذب می باشد [۱۱].



شکل ۵ - تصویر SEM مربوط به MOF-199

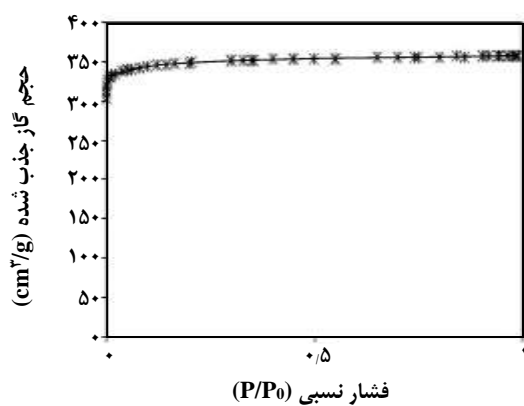


شکل ۷- اثر غلظت اسید بر عاملدار کردن نانولوله های کربنی: کربوکسیله کردن با اسید خالص (الف) با اسید ۸ مولار (ب) و با اسید ۵ مولار (ج)

یکنواخت را نشان می دهد که ریخت شناسی های جاذب های پیشین در مقاله ها همانندی خوبی دارد. این تصویرها توانسته خلوص ترکیب سنتزی را نشان دهد زیرا در آن ذره ها با شکل های سوزنی که نشان دهنده لیگاند های واکنش نداده می باشند، دیده نمی شوند. در تصویر های مربوط به ترکیب CNT@MOF-199 پخش شدن مناسب MWCNT را در شبکه MOF-199 نشان می دهد.

بررسی آزمایش جذب و واجدب نیتروژن ترکیب MWCNT@MOF-199

(شکل ۱۲) همدمای جذب و واجدب نیتروژن ترکیبات سنتز شده را نشان می دهد. همدمای جذب گاز دقیقاً از نوع I می باشد که براساس طبقه بندی آیوپاک نانو متخلخل بودن ترکیب تأیید می شود. پس از هیرید شدن دو ترکیب با یکیگر، حجم حفره های میکرو افزایش یافته است ولی در مساحت سطح BET اندکی کاهش دیده می شود



شکل ۶- ایزوترم جذب- واجدب نیتروژن در ترکیب MOF-199

XRD بررسی الگوی
الگوی پراش پرتو ایکس ترکیب MOF-199 (الف) و کامپوزیت MWCNT@MOF-199 (ب) ملاحظه می کنیم. همان گونه که در الگوی XRD ترکیب MWCNT-MOF-199 دیده می شود، هیرید شدن ترکیب MOF-199 با نانولوله های کربنی، باعث تخریب ساختار آن نشده است و شدت پیک ها نیز افزایش یافته است. نانولوله های کربنی در ۲۰ برابر ۲۶ درجه، یک پیک ضعیف نشان می دهد اما به دلیل وجود پیک های شارپ تر مربوط به خود شبکه فلزی آلی، پیک های نانولوله در این زاویه پوشیده شدند.

SEM تصویرهای
تصویرهای SEM نمونه MOF-199 و CNT@MOF-199 سنتز شده در (شکل ۱۱) آورده شده است که نانو ذره های

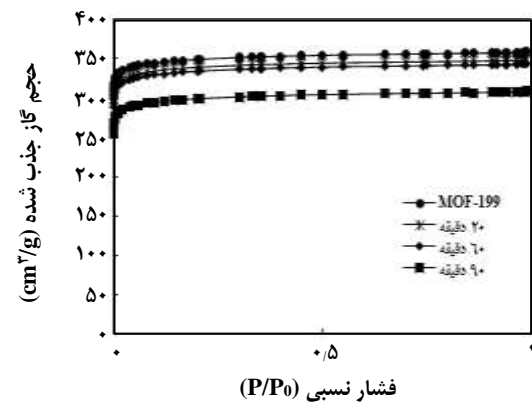
درنتیجه نسبت به جاذب اولیه، میزان جذب گاز N_2 کاهش یافته است. پس از هیبرید شدن دو ترکیب با یکدیگر، حجم روزندهای میکرو افزایش یافته است. جدول ۱ پارامترهای ساختاری جاذب را که شامل مساحت سطح BET، اندازه تخلخل و حجم کلی تخلخل می‌باشد، را نشان می‌دهد.

مطالعات جذب سطحی

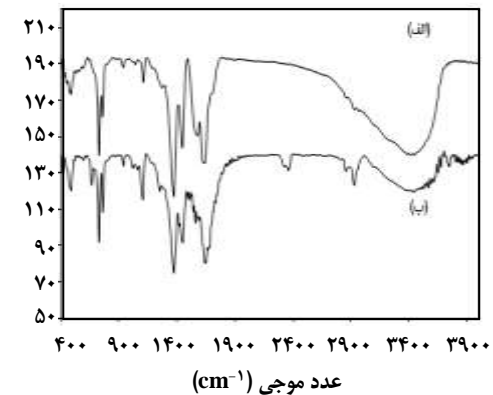
شکل ۱۳ هم‌دماهای جذب سطحی CO_2 را بر حسب میلی‌مول گاز جذب شده به ازای هر گرم جاذب، بر روی ترکیب‌های MOF-199 و MWCNT-MOF-199 نشان می‌دهد. همان‌گونه که دیده می‌شود این هم‌دما از نوع اول می‌باشد، این هم‌دماها می‌توانند در مواد جامد که برهمکنش میان جاذب و جذب‌شونده در آن وجود دارد، دیده شود. این منحنی در فشار گاز CO_2 در $0-15$ bar و در دمای 298 K و پس از گذشت ۵ دقیقه به دست آمد.

تفسیر هم‌دماهای جذب

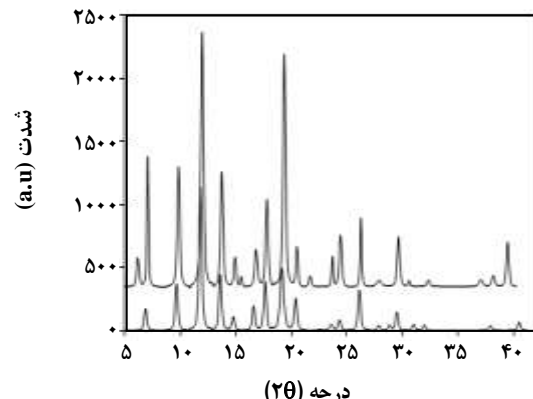
برای ترکیب MOF-199 در فشار ۱۵ بار میزان CO_2 جذب شده برابر با 5.8 ml/mol (میلی‌مول بر گرم) می‌باشد. در همین فشار میزان جذب CO_2 بر روی کامپوزیت MWCNT@MOF-199 برابر با 9 ml/mol بر گرم می‌باشد که نسبت به ترکیب MOF-199 حدود 35 درصد بهبود جذب را نشان داده است. نانولله‌های کربنی جزء مواد میکروپروس می‌باشند و پس از افزوده شدن آن‌ها به ساختار شبکه MOF-199 باعث افزایش تعداد روزندهای با اندازه میکرو و درنتیجه افزایش حجم روزندها میکرو می‌شوند. قطر سینتیکی مولکول CO_2 حدود 3.8 Å آنگستروم هست، بنابراین مناسب‌ترین ترکیب‌ها برای به دام انداختن مولکول‌های CO_2 ترکیباتی هستند که روزندهایی با اندازه $8-12\text{ Å}$ آنگستروم داشته باشند. چون اندازه روزندهایی بزرگ‌تر سبب واجذب سریع گاز جذب شده می‌شوند و همچنین روزندهای کوچک‌تر به دلیل این که ورود مولکول‌های CO_2 به درون روزندها مشکل‌تر می‌شود مناسب نیستند. روزندها با اندازه $8-12\text{ Å}$ آنگستروم در زمرة حفره‌های میکرو می‌باشند، بنابراین با افزوده شدن نانولله‌های کربنی به ساختار شبکه MOF-199، حجم روزندها میکرو افزایش یافته و همین امر سبب افزایش چشمگیر میزان جذب گاز در کامپوزیت MWCNT@MOF-199 شده است.



شکل ۸ - اثر زمان دیسپرس شدن مواد اولیه بر هم‌دماهای جذب و واجدب نیتروژن.



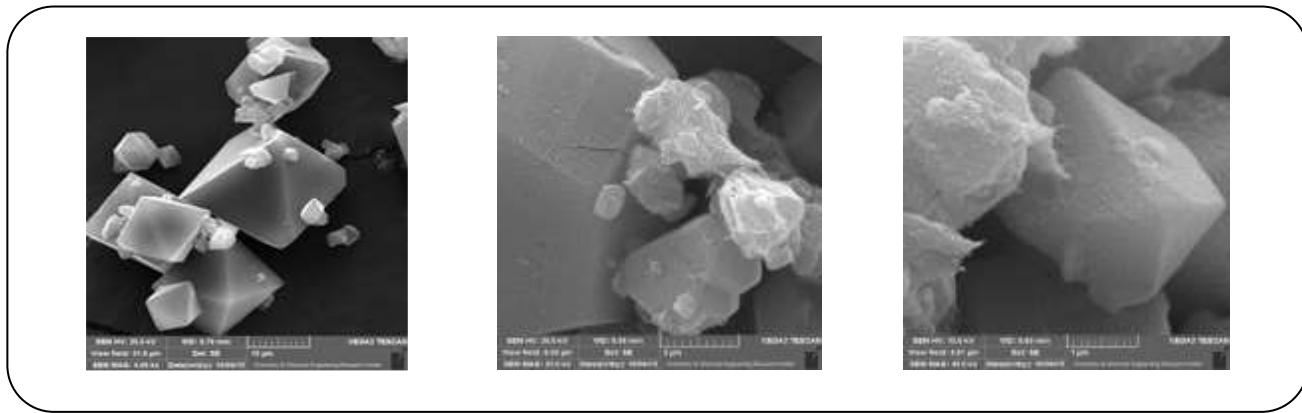
شکل ۹- طیف FT-IR ترکیب MOF-199 (الف) و MOF-199@MWCNT (ب).



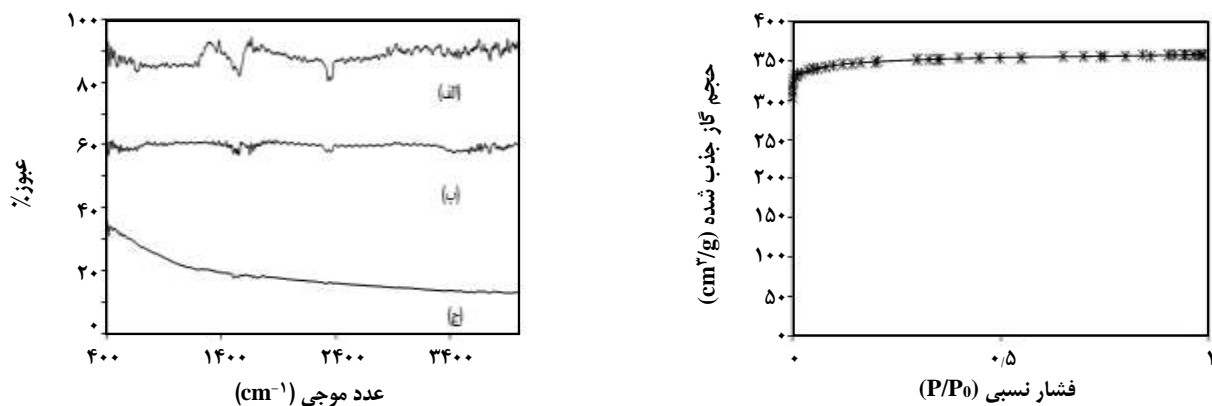
شکل ۱۰- الگوی XRD ترکیب‌های MOF-199 (الف) و MOF-199@MWCNT (ب).

جدول ۱ - ویژگی‌های ساختاری جاذب‌های سنتز شده.

	مساحت سطح (cm ² /g)	حجم روزنه‌های (cm ³ /g)
MOF-199	۱۴۲۰	۰.۷۳
CNT@MOF-199	۱۲۷۰	۰.۸۷



شکل ۱۱ - تصویر SEM مریبوط به (A) و (B) و MOF-199(c)

شکل ۱۳ - همدماج جذب CO₂ در ترکیب CNT@MOF-199 (الف) و ترکیب MOF-199 (ب) در درمای ۲۹۸ کلوین

چشمگیری به شبکه می‌بخشد و همین امر منجر به مقاومت بیشتر آن در برابر جذب رطوبت می‌شود. با انجام آزمون‌های جذب گاز، مشخص شد که ساخت این نوع هیبرید بر روی ویژگی‌های جذبی آن نیز تأثیر مثبت داشته است. در واقع طبق داده‌های به دست آمده از BET، کامپوزیت نسبت به MOF-199 دارای حجم روزنه‌ی میکرو بزرگ‌تر خواهد بود. در نتیجه ظرفیت جذب بیشتری برای گاز کربن‌دی‌اکسید در فشارهای بالا از خود نشان می‌دهد. به این ترتیب که میزان جذب گاز CO₂ از ۸۵ میلی مول بر گرم به ۹ میلی مول بر گرم جاذب، در فشار ۱۵ بار افزایش پیدا کرده است.

شکل ۱۲ - همدماج جذب- واجذب نیتروژن در ترکیب MOF-199 (الف) و ترکیب CNT@MOF-199 (ب)

نتیجه‌گیری

یکی از مشکل‌های پیش روی استفاده از شبکه‌های فلزی آلی، جذب بالای رطوبت توسط این شبکه‌هاست که این امر باعث می‌شود که ظرفیت جذب گاز آن‌ها به مقدار چشمگیری کاهش پیدا کند. همچنین جذب آب توسط این شبکه‌ها باعث تغییر در ماهیت شبکه و تخریب ساختار آن می‌شود. در این پژوهش با سنتز کامپوزیتی از شبکه فلزی آلی، MOF-199 وارد شدن نانولوله‌های کربنی درون شبکه افزون بر این که منجر به افزایش پایداری گرمایی آن‌ها می‌شود همچنین خاصیت آبگریزی

تاریخ دریافت: ۱۰/۲۱/۱۳۹۶، تاریخ پذیرش: ۱۲/۲۳/۱۳۹۶

مراجع

- [1] House K. Z., Harvey C. F., Aziz M. J., Schrag D. P., *The Energy Penalty of Post-Combustion CO₂ Capture & Storage and Its Implications for Retrofitting the US Installed Base, Energy & Environmental Science.*, **2**(2): 193-205 (2009).
- [2] Sumida K., Rogow D.L., Mason J.A., McDonald T.M., Bloch E.D., Herm Z.R., Bae T.H., Long J.R., *Carbon Dioxide Capture in Metal–Organic Frameworks, Chem. Rev.*, **112**: 724 – 781 (2012).
- [3] Uzun A., Keskin S., *Site Characteristics in Metal Organic Frameworks for Gas Adsorption, Progress in Surface Science.*, **8**(1): 56-79 (2014).
- [4] Falcaro P., Ricco R., Doherty C.M., Liang K., Hill A.J., Styles M.J., *MOF Positioning Technology and Device Fabrication, Chem. Soc. Rev.*, **43**(16): 5513-5560 (2014).
- [5] Llewellyn P., Maurin G., Rouquerol J., “*Adsorption by Metal-Organic Frameworks*”, Elsevier Ltd., *Adsorption by Powders and Porous Solids*, 565-610 (2014).
- [6] Qiu S., Zhu G., *Molecular Engineering for Synthesizing Novel Structures of Metal–Organic Frameworks with Multifunctional Properties, Chem. Rev.*, **253**: 2891–2911 (2009).
- [7] Wepasnick K.A., Smith B.A., Schrote K.E., Wilson H.K., Diegelmam S.R., Fairbrother D.H., *Surface and Structural Characterization of Multi-Walled Carbon Nanotubes Following Different Oxidative Treatments, Carbon.*, **49**: 24–36 (2011)
- [8] Ahmed I., Jhung S.H., *Composites of Metal–Organic Frameworks: Preparation and Application in Adsorption, Materials Today.*, **17**(3): 136-146 (2014).
- [9] Thuy Van Nguyen Thi., Cam Loc Luu., Tien Cuong Hoang., Tri Nguyen., Thanh Huong Bui., Phuc Hoang Duy Nguyen., Thuy Phuong Pham Thi., *Synthesis of MOF-199 and Application to CO₂ Adsorption, Adv. Nat. Sci: Nanosci. Nanotechnol.*, **4**: 035016 (2013).
- [10] David J.Tranchemontagne., Joseph R.Hunt., Omar M.Yaghi., *Room Temperature Synthesis of Metal-Organic Frameworks: MOF-5, MOF-74, MOF-177, MOF-199, and IRMOF-0, Tetrahedron*, **64**(36): 8553-8557 (2008).
- [۱۱] رضایی، فاطمه؛ صدرعاملی، سید مجتبی؛ توفیقی داریان، جعفر؛ مفرحی، مسعود، *جداسازی مخلوط گازی کربن دی‌اکسید و نیتروژن با روش جذب سطحی با تناوب فشار- خلا* نشریه شیمی و مهندسی شیمی ایران، (۳۲)۳: ۴۵ تا ۳۹ (۱۳۹۲).